

III-107 過圧密粘土層内の抵抗土圧

名古屋大学大学院 学生員 梅林 澄夫
名古屋大学工学部 正会員 市原 松平
名古屋大学工学部 正会員 松沢 宏

1. まえがき

今回は、昨年と同様、室内の受動土圧実験装置内で練り返した粘土を、圧密・吸水膨張させたのち、壁を原位置に対して平行に変位させる実験を行なった。ここで、今回の実験で得られた裏込め粘土層の変形ならびに抵抗土圧特性について報告する。なお、実験装置については、すでに報告した。¹⁾

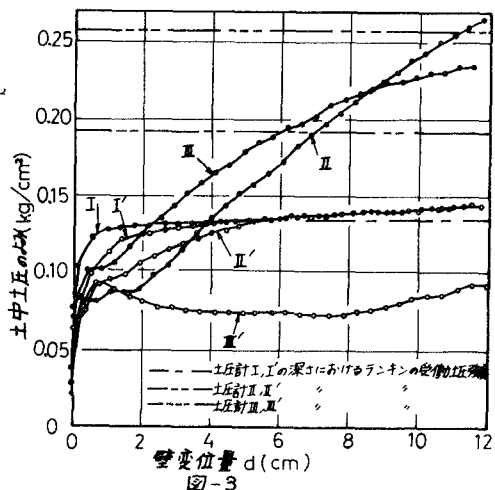
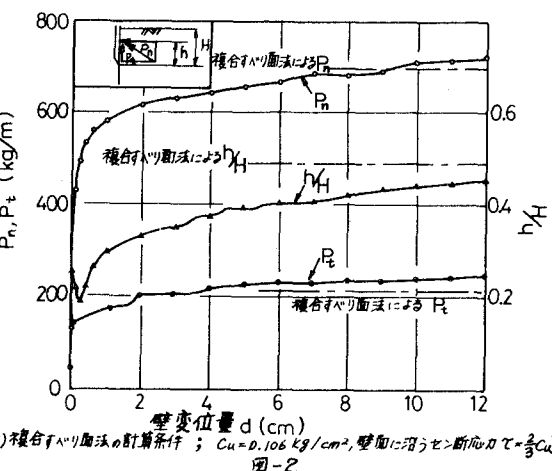
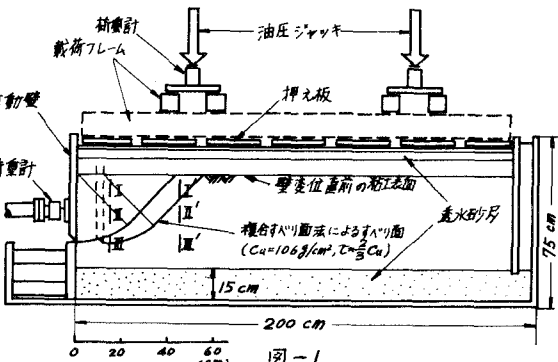
2. 使用した粘土ならびに実験方法²⁾

実験に使用した粘土の物理的性質は、比重 $G_s = 2.63$, $W_L = 81.0\%$, $W_P = 40.1\%$ である。この粘土を充分に練り返し、実験土槽内に充填したのち、圧密(圧密荷重 $3 t/cm^2$)・吸水膨張させた。この過圧密粘土層に対して、可動壁を平行に $12 cm$ 変位(変位速度 $4.14 mm/min$)させた。図-1に粘土充填時の土層断面を示す。なお、過圧密状態における粘土層中央深さ(粘土層の厚さ $29.6 cm$)での過圧密化は $O.C.R. = 24.2$ 、壁変位後の粘土層の平均含水比、平均飽和度ならびに湿潤単位体積重量は、それぞれ、 $w = 72.7\%$, $S_r = 100\%$, $\gamma = 1.584$

g/cm^3 である。さらに、壁変位の影響を受け¹⁾、(主)複合すべり面法の計算条件; $C_u = 0.106 kg/cm^2$, 壁面に沿うセン断応力 $\tau = \frac{2}{3} C_u$ なると想われる位置より採取した試料に対して、一軸ならびに三軸圧縮試験を行なう、非排水強度を求めたところ、粘土層の深さ方向に増加する傾向があり、可動壁の中央高さに相当する深さで、それより $C_u = 0.079 kg/cm^2$, $0.106 kg/cm^2$ である。

3. 壁間土圧と粘土層内の横土圧

図-2は、壁変位量 $d(cm)$ に対して、可動壁内面に作用する土圧合力の垂直成分 P_n と接線成分 P_t と相対着力点 H/H を示したものである。図-2から、 P_n の値は、壁変位量が小さいときは弾性的挙動を示し、その後、塑性的な挙動へと移行し、最大値をとることなく増大していく。また、図-2には、複合すべり面法(計算条件; $C_u = 10.6 g/cm^2$, $K_t = 1.584 g/cm^2$, 壁間に沿うセン断応力 $\tau = \frac{2}{3} C_u \therefore P_t = 209 kg$)によつて計算した土



圧合さながらに相対着力点をあわせて示した。

図-3は、図-1に示した6つの土圧計により計測した粘土層内の横方向土圧を、 d に対しても示したものである。ランキン領域内にあると考えられる土圧計I, I'の位置では、 C_u の直線的な增加を考慮して求めたランキンの受働土圧強度がほぼ発揮されてい（104～106%）。また、過渡領域内と考えられるIIの位置では、ランキンの受働土圧強度よりかなり大きな土圧（137%）が発揮され、非破壊と思われるIIIの位置では、ランキンの受働土圧強度よりかなり小さな土圧である（36%）。

4. 裏込め粘土層の変形特性

粘土と土槽側壁との間の摩擦軽減のために、側壁内間に貼ったビニールシート上に描いた5cm×5cmの格子模様の壁変位に応じる変形状態を写真にとり、これらの写真から、各格子節点（節点数120）の最大せん断ひずみ δ_{max} を、大変形を考慮して求め、今回これを等ひずみ曲線として整理した。

図-5, 6は、土圧計I, II, IIIならびにI', II', III'の位置での δ_{max} と横方向土圧との関係である。これらの図から、壁に近い2つの土圧計II, IIIを除いて、 $\delta_{max} = 0.15 \sim 0.25$ で、土中土圧がほぼ一定となる。破壊時のせん断ひずみは、せん断試験を行なって検討する必要があるが、ここで得られた $\delta_{max} = 0.2$ という値は、この土層内の破壊時のせん断ひずみの大きさに、1つの指標を与えるものと考えられる。

図-4は、 δ_{max} の等ひずみ曲線と、壁変位量が1.0cm増加した際の δ_{max} の増分とを示している。なお、図には、複合すべり面によることで求めたすべり面もあわせて示した。上で述べたように、 $\delta_{max} = 0.2$ を一応破壊時のせん断ひずみと考えれば、図-4から、破壊領域が壁の下部からすべり面に沿って方向と壁頂から下方向へ45°方向へ発達し、これらの間に、あまりせん断ひずみを受けていない領域が存在することがうかがえる。また、図-4の右図より、せん断ひずみの比較的大きな領域が、壁下端から出発するすべり面に沿って進行しており、さらに、この領域は、計算したすべり面より、壁面から見て遠方に及んでいることがわかる。

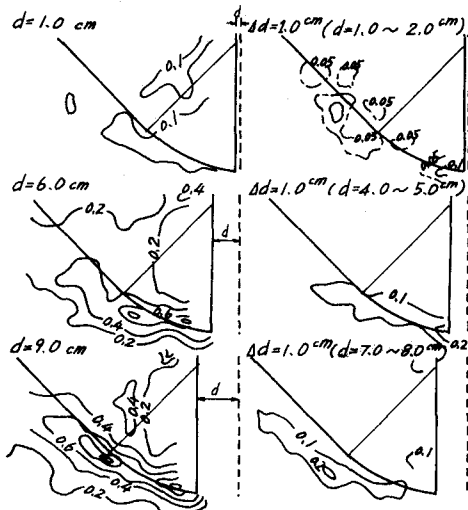


図-4 最大せん断ひずみ分布
図-4 最大せん断ひずみの増分

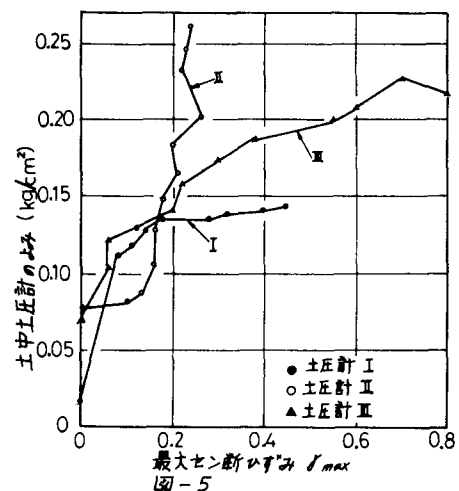


図-5

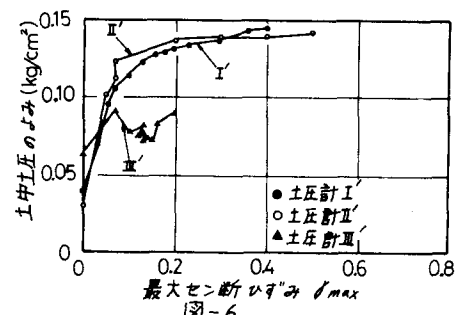


図-6

参考文献

- リモ原, 松沢, 水谷 “地震時受働土圧装置” 第28回土木学会年次学術講演会講演概要集 昭和48年10月, PP376～377(第388)
リモ原, 松沢, 平野 “粘土の受働土圧” 第30回土木学会年次学術講演会講演概要集 昭和50年10月, PP265～266(第388)